

דוח התאבכות

מיכאל כהן ודויד פונרובסקי

11 ביוני 2021

תחת קירוב זה יהיה ניתן להזניח את האיברים הריבועיים באקספוננט, ולקבל את קירוב פראונהופר עבור עקיפה בקירוב השדה הרחוק:

$$U(x, y, z) = -\frac{ik_0}{2\pi z} e^{ik_0(z + \frac{x^2+y^2}{2z})} \cdot \int_{-\infty}^{\infty} \int_{-\infty}^{\infty} U(x', y', z=0) \cdot e^{-\frac{ik_0}{z}(xx' + yy')} dx' dy'$$

תיאור מערכת הניסוי איור 1 מציג שרטוט סכמתי של מערכת הניסוי. בנקודה C ממוקם הלייזר, קרן זאת עוברת דרך נקודה A שם מונח השריג, שיכל להיות סדק בודד או זוג שכאלה. באות W נסמן את רוחב הסדק, ובמקרה של שתי סדקים נשתמש בנוסף באות d כדי לסמן את המרחק ביניהם. z יציין את המרחק המינימלי (האנך) אותו עוברת קרן האור עד להגעה למישור המסך. ב B נמצא הגלאי, הנע על מסלול מעגלי שבקירוב מתלכד עם המישור, הזווית הנפרשת ממנו אל האנך, היא דרגת החופש שלנו במערכת אותה נסמן ב θ . בחרנו למדוד רק עבור ערכי $|\theta| < \frac{2\pi}{24} (\pm 15^\circ)$ שם מתקיים כי מסדר ראשון

$$\tan(\theta) \sim \theta + \mathcal{O}\left(\frac{\theta^3}{3}\right) \leq \theta + \frac{1}{3} \left(\frac{2\pi}{24}\right)^3 \leq \theta + 7 \cdot 10^{-4}$$

ולכן נוכל להצדיק קירובי זוויות קטנות $\frac{x}{z} = \tan \theta \rightarrow |x - z\theta| \leq \frac{1}{20}$ התחשבות השגיאה ב x , תעמיס על החישובים ואינה תתרום בסדרי גודל מעבר לתרומות שגיאות אחרות. לכן לא נתחשב בה, ונניח כי ערכי את x עלפני המסך אנו מודדים בקירוב טוב. נסמן ב x' נקודה בה הקרן יכולה להיות במישור השריג, אורך הגל מקיים

$$\frac{1}{\lambda} \cdot x'^2 \leq \frac{1}{\lambda} \cdot W^2 \sim \frac{(\mu m)^2}{\mu m} \leq \mathcal{O}(10^{-6} z)$$

כלומר קירוב השדה הרחוק של פראונהופר מוצדק במערכת. את הזווית ועוצמת האור אנו מודדים על ידי חשיניים שאנו מניחים כי הם מבצעים רק פעולות ליניאריות על הקלט, כלומר מוסיפים רק כפולות בקבוע.

אימות התאוריה אל מול אורך הגל. בניסוי השתמשנו בלייזר אדום בעל אורך גל $\lambda \sim 0.6 [\mu m]$. אורך זה משותף לכל הניסויים, ללא תלות ביחס לרוחב הסדק או כמות הסדקים. בנוסף בניגוד לערכים משתופים אחרים, למשל מרחק הלייזר מהגלאי, אורך הגל רובסטי במיוחד לשגיאות כיוול. ביחס ליכולת המדידה שלנו גודל זה הוא אוניברסלי ולכן אם הניסויים שלנו תואמים את התאוריה, נצפה שחישוב יניב אורך גל זהה.

כזכור, לפי קירוב פראונהופר העוצמה המתקבלת היא $V(\theta) \sim V(x_\theta) \propto \text{sinc}^2\left(\frac{\pi wx}{\lambda z}\right)$ עבור סדק יחיד. סכמת החישוב מתבצעת באופן הבא,

1. תחילה אנו מוצאים את תדירות הסינק $\alpha_W = \arg \min_{\alpha} RMS(V(x), Amp \cdot \text{sinc}^2(\alpha x))$ עבור כל ניסוי.

2. לאחר מכן, אנו מחלצים את שיפוע ההתאמה הליניארית לגדלים המתקבלים מ $\frac{1}{\alpha_W \cdot W}$ כלומר

$$\lambda = \arg \min_{\lambda, \phi} RMS\left(\frac{1}{\alpha_W} \left(\frac{1}{W}\right), \lambda \cdot \left(\frac{1}{W}\right) + \phi\right)$$

רקע תיאורטי גל מישורי מונוכרומטי ניתן לתיאור בתור שדה התלוי בזמן ובמרחב

$$\psi(\vec{r}, t) = Ae^{i(\vec{k} \cdot \vec{r} - \omega t)} = U(\vec{r})e^{-i\omega t}$$

כאשר $\vec{k} = (k_x, k_y, k_z)$ ו $\omega = c\sqrt{k_x^2 + k_y^2 + k_z^2}$. עבור גל כזה ניתן לתאר את המרחב כאוסף רציף של מישורים שווי-פאזה. מישורים אלה נקראים חזיתות הגל. עצמה של גל מוגדרת להיות

$$I(\vec{r}) = |U(\vec{r})|^2$$

כאשר n גלים שונים נפגשים, ניתן לתאר גל יחיד שקול שהוא סכום הגלים, מעקרון הסופרפוזיציה:

$$\psi(\vec{r}, t) = \sum_{j=1}^n \psi_j(\vec{r}, t) = \sum_{j=1}^n U_j(\vec{r})e^{-i\omega_j t}$$

לדוגמה, במקרה שבו $n = 2$, העוצמה של גל מוגדרת להיות

$$I = I_1 + I_2 + 2\sqrt{I_1 I_2} \cos(\Delta\phi)$$

כלומר תבנית ההתאבכות נקבעת לפי הפרשי הפאזה של המקורות. הקירוב הפרקסיאלי - כאשר נניח זוויות קטנות בין הציר האופטי ובין וקטורי הגל, עבור וקטור גל $\vec{k}_0 = (k_x, k_y, k_z) = \sqrt{k_0^2 - k_x^2 - k_y^2}$ מתקיים $|k_x|, |k_y| \ll k_0$ ולכן נקבל:

$$\sqrt{k_0^2 - k_x^2 - k_y^2} = k_0 \sqrt{1 - \frac{k_x^2 + k_y^2}{k_0^2}} \approx k_0 - \frac{k_x^2 + k_y^2}{2k_0}$$

כאשר גל פוגע בשריג, אינטגרל פרנל בעזרת הקירוב הפראקסיאלי מתאר את השדה במרחב:

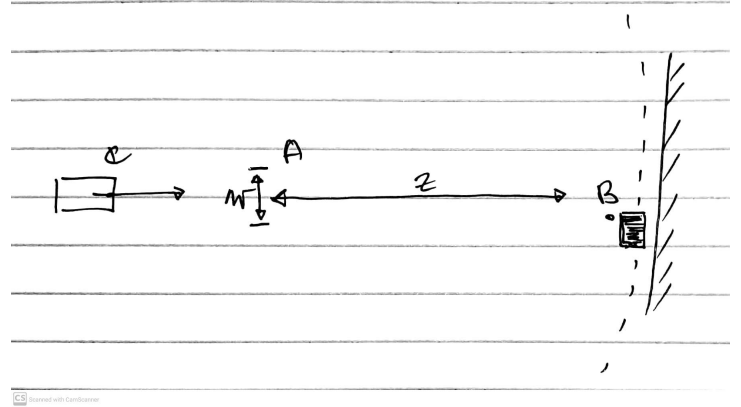
$$U(x, y, z) = -\frac{ik_0}{2\pi z} e^{ik_0 z} \int_{-\infty}^{\infty} \int_{-\infty}^{\infty} U(x', y', z=0) \cdot e^{\frac{ik_0}{2z}((x-x')^2 + (y-y')^2)} dx' dy'$$

כאשר $U(x', y', z=0)$ מייצג את הביטוי המתקבל מכפל פונקציית הגל ממש לפני המפתח, כפול פונקציית ההעברה של המפתח, המבטאת את המבנה הגיאומטרי של המפתח. בדרך כלל נניח מפתח דו-מימדי ולכן גם פונקציית ההעברה תהיה דו-מימדית. למשל, עבור מפתח ריבועי פונקציית ההעברה היא מכפלה של שני פונקציות $Rect(\cdot)$. אם בנוסף לכך נניח שאנחנו מסתכלים על נקודה רחוקה מאוד r עבורה נוכל להשתמש בקירוב השדה הרחוק:

$$|x'_{max}|, |y'_{max}| \ll \sqrt{\lambda z}$$

כאשר $|x'_{max}|, |y'_{max}|$ מייצגים את ערכי x, y המקסימיים במישור המפתח עבורם פונקציית ההעברה אינה 0.

תוצאות באיורים 3 ו-4 ניתן לראות את ההתאמות אל מול המדידות, באיור מספר 2 את התאמה הלניארית ל α_W^{-1} (תדר ה $\sin c$ שחולץ מההתאמה) כאשר השיפוע הוא אורך הגל, $\phi + (\frac{1}{W}) \cdot \lambda$. נציין כי ערכי השיפועים אינם תואמים את הערכי הגל של הלייזר האדום (עבור סדק יחיד התקבל אורך גל של $0.16 \mu m$ ומחילוף תדרי ה $\sin c$ ו $\cos c$ בניסוי השני קיבלנו $0.31 \mu m$ ו $0.43 \mu m$) כאשר אורך הגל של לייזר אדום הוא $0.6 \mu m$. יחד עם זאת ערך σ המוחזר עבור התדר נע בין ערכי 0.1 ל 2 (עבור כל סדק מתקבל ערך אחר בתחום) כלומר, הערך המקסימלי הנתרם ל - $\frac{\sigma}{\alpha(W)}$ הוא 15%, ובנוסף מאחר ומדידת האורכים במערכת היא גסה (נובע ישירות מקרוב הזוויות הקטנות) לקחנו שגיאה של כ 10% באורך ולכן ניתן לחסום את השגיאה מלעיל ב $\pm 25\%$, ואכן לא הצלחנו להגיע לאימות מלא. אבל כן לתוצאה קרובה בסדרי הגודל.



איור 1: מערכת הניסוי עבור סדק יחיד, הנקודה B היא מיקום החיישן, הנע על מסלול שהוא בקירוב טוב מקביל למסך, הנקודה A היא נקודת המעבר של קרן הלייזר בסדק ונקודה C נמצא מקור הלייזר.

אפקטיבית, השגיאה ברוחב הסדק זניחה (סדר גודל של פחות מ- μm אין לנו יכולת להבחין בה), ולכן ניתחשב רק בשיגאת של מדידת המרחק Δz , ונסמן ב σ את סטיין התקן אותה מחזירה התאמת ה RMS של ספריית *scipy*. מכאן ש

$$\alpha(W) = \frac{\pi W}{\lambda(z \pm \Delta z)} \pm \sigma \Rightarrow \lambda = \frac{\pi W}{(\alpha(W) \pm \sigma)(z \pm \Delta z)}$$

$$\lambda \sim \frac{\pi W}{\alpha(W)z} \left[1 \pm \left(\frac{\sigma}{\alpha(W)} + \frac{\Delta z}{z} \right) + \mathcal{O}(\Delta^2) \right]$$

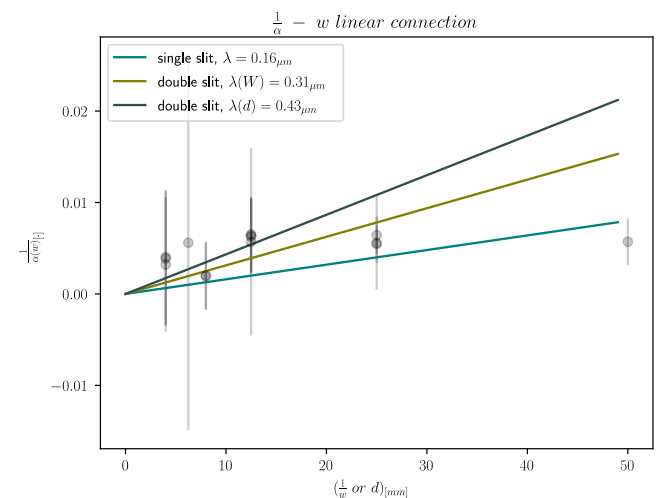
באופן זהה לחלוטין נאמת את ניסוי שני הסדקים, רק ששם התאוריה חוזה קשר של $V(x_\theta) \propto \text{sinc}^2\left(\frac{\pi wx}{\lambda z}\right) \cos^2\left(\frac{\pi}{\lambda z} \frac{d+W}{2} x\right)$ כאשר הקשר מתקבל לאור הזהות

$$\mathcal{F}\left[\frac{f(t+\tau) + f(t-\tau)}{2}\right] = \mathcal{F}[f] \cos(\tau x)$$

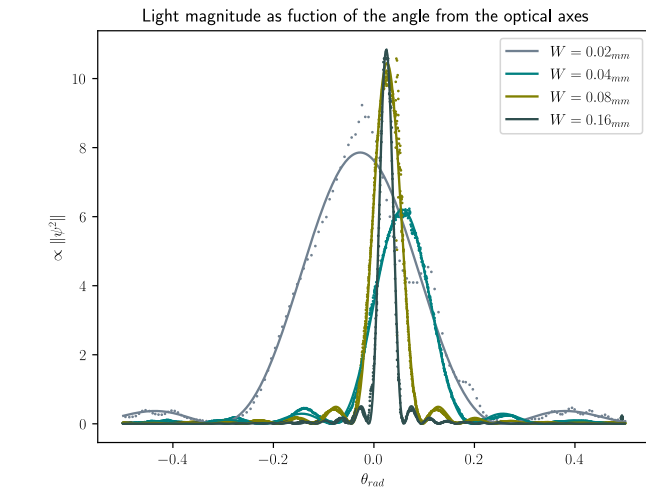
במקרה שלנו, המרחק בין הסדקים הוא d , מרכזם נמצא ב $\frac{d+W}{2}$, ולכן עוצמת האהרה ברגע המעבר בסדק שקולה לעוצמת שתי מקורות אור במרחק $\pm \frac{d+W}{2}$ מהראשית. הפעם נוסיף פרמטר $\beta_{W,d}$ שייצג את התדירות האופטימלית של רכיב ה \cos כלומר

$$\alpha_{W,d}, \beta_{W,d} = \arg \min RMS(V(x), \text{Amp} \cdot \text{sinc}^2(\alpha x) \cos^2(\beta x))$$

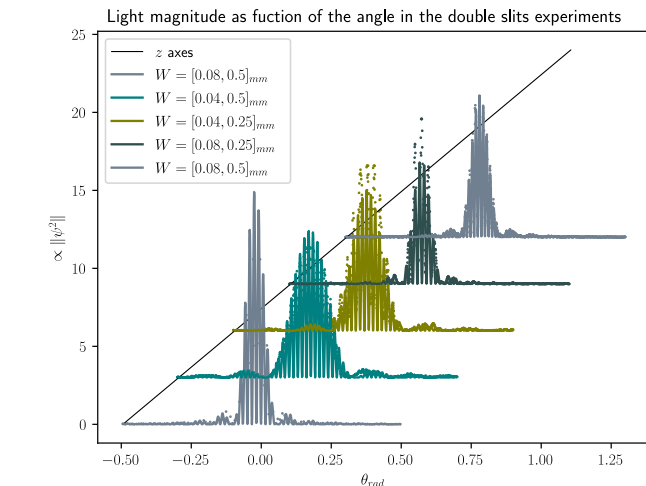
נחלץ את אורך הגל לפי הפרצודה עבור α ו β בנפרד, ונאמת את ערך אורך הגל בנפרד.



איור 2: ההתאמה הלניארית בין "1 חלקי תדר" $\sin c$ ו \cos כפונקציה של $\frac{1}{W}$ (או $\frac{2}{W+d}$ במקרה של \cos). ציר \hat{x} מופיעה $\frac{1}{W}$ ובציר \hat{y} את $\frac{1}{\alpha_W} \left(\frac{1}{W} \right)$ כאשר α_W הוא התדר.



איור 3: ההתאמות לתבנית ההתאבכות במערכת סדק יחיד, עבור רוחבים משתנים. בציר \hat{x} נתונה הזווית ברדיאנים, בציר \hat{y} את עוצמת האור הנמדדת.



איור 4: ההתאמות לתבנית ההתאבכות במערכת שתי סדקים, עבור רוחבים משתנים W ומרחק משתנה ביניהם d. בציר \hat{x} נתונה הזווית ברדיאנים, בציר \hat{y} את עוצמת האור הנמדדת.

נספחים.

ניסיון לאמת את ניסוי מייכאלסון. חלק זה לא הוכנס לדו"ח מאחר וניתוח תצאותיו רחוקות מאוד מהערכים אותם ציפנו להקבל בתאוריה. ולכן חלק זה נכנס כניספח.

בחלק זה של הניסוי, אנו מעבירים את אחד הגלים דרך תווך המוסיף פאזה מסויימת, במקרה שלנו משטח זכוכית, נטייה בזווית θ של המשטח תאפשר לנו לשלוט במרחק אותו עובר הגל בתוך התווך.



איור 6: דוגמא, ל 4 פריימים שצולמו לאחר הפעלת טרשהולד.

נציין כי, ההתאמה המופיע באיור 5 היא אינה ההצגה האופטימלית המצמצמת את השגיאה, זאת מאחר וכל פתרון המוחזר על *scipy* הוא משולש בעל תדר גבוהה בצורה בלתי סבירה, מה שמעיד על כך שכניראה אחת ההנחות לעיל הייתה פשוט לא סבירה.

נסמן ב $g(\theta, \vec{x})$ את הפאזה אותה צובר הגל בעת מעבר בזכוכית בזווית θ במיקום \vec{x} , ונקבל כי שיקלול הגל המתקבל על המסך הוא $\psi(x) = \frac{1}{\sqrt{2}} (e^{ig(\theta, \vec{x})} + 1)$ מכאן שהמרחק (בנורמות פורבינוס) לבין הגל המקורי

$$\begin{aligned} d_F(\psi_\theta - \psi) &= \sqrt{\int_D |\psi_\theta(x) - \psi(x)|^2} \\ &= \sqrt{\int_D \left| \frac{1}{\sqrt{2}} (e^{ig(\theta, \vec{x})} - 1) \psi(x) \right|^2} \\ &= \sqrt{\int_D \sin^2\left(\frac{1}{2}g(\theta, \vec{x})\right) |\psi(x)|^2} = \\ &= \sqrt{\mathcal{F}\left[\sin\left(\frac{1}{2}g(\theta, \vec{x})\right)\right] * \mathcal{F}[|\psi(x)|^2]} = \\ &= \sqrt{\mathcal{F}\left[\sin\left(\frac{1}{2}g(\theta, \vec{x})\right)\right] * \mathcal{F}[\psi(x)] * \mathcal{F}[\psi(x)]} \end{aligned}$$

כאשר שתי המעברים האחרונים נובעים ישירות ממשפט הקונבולוציה. אנו מניחים כי $\psi(x)$ הוא הפתרון לפיזור מסדק דק כלומר $\psi(x) \sim \text{sinc}(wx)$ ומכאן ש $\mathcal{F}[\psi(x)] = \text{rect}(rx')$ כאשר r, w הם הפרמטרים הפיזיים. נזכיר כי קונבולוציה של שתי מלבנים (*rects*) שווה לפונקציית המשולש.

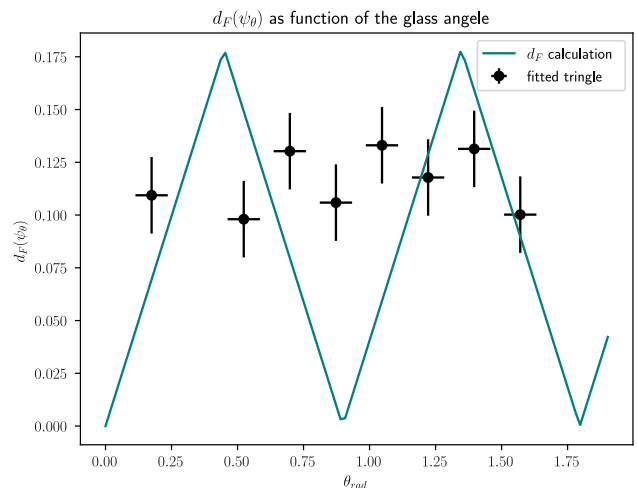
נניח כי $g(\theta, \vec{x})$ הוא אופרטור לניארי ב θ בשדה מודולו 2π , מהצורה $g(\theta, \vec{x}) = \left(\vec{\xi} \cdot \vec{x}\right) \theta \mod 2\pi\zeta$ (כאשר ζ , מייצג את 1 חלקי המחזור) הנחה זאת סבירה עם מקדם השבירה של הזכוכית קטן. במקרה זה, נקבל כי

$$\mathcal{F}\left[\sin\left(\frac{1}{2}g(\theta, \vec{x})\right)\right] \sim \delta\left(|x' - \frac{1}{2}(\vec{\xi} \cdot \vec{1})\theta| \mod 2\pi\zeta\right)$$

. נקבל סך הכל כי

$$d_F(\psi_\theta - \psi) = \sqrt{\text{triangle}\left(\frac{1}{2}(\vec{\xi} \cdot \vec{1})\theta \mod 2\pi\zeta\right)}$$

כאשר ξ הוא פרמטר, המייצג את מקדם השבירה בכל ציר ו ζ הוא פרמטר המייצג את 1 חלקי זמן המחזור. מטעמי פשטות נניח כי מקדם השבירה בשתי הצירים זהה.



איור 5: התאמה בין הנורמות $d^2(\psi_\theta - \psi)$ לבין $\text{triangle}\left(\frac{1}{2}(\vec{\xi} \cdot \vec{1})\theta \mod 2\pi\zeta\right)$ בציר \hat{x} נמצאת הזווית θ בציר \hat{y} מוצגת הנורמה.